

# 食管鳞癌中 CD151、ERK1/2 及血管生成拟态的表达及临床意义

刘玉<sup>1</sup>, 王子安<sup>2</sup>

(1. 蚌埠医学院, 安徽 蚌埠 233030; 2. 蚌埠医学院第一附属医院, 安徽 蚌埠 233004)

**摘要:** [目的] 研究组织分化抗原 151(CD151)及细胞外调节蛋白激酶 1/2(ERK1/2)在食管鳞状细胞癌(ESCC)中的表达情况, 分析两者表达与血管生成拟态(VM)的相关性。[方法] 选取 100 例存档石蜡包埋 ESCC 组织标本作为观察组和 50 例癌旁( $\geq 5\text{cm}$ )正常食管组织作为对照组, 采用免疫组织化学 Elivision™ plus 法检测 ESCC 中 CD151 及 ERK1/2 的表达, 运用 CD34/PAS 双染检测食管癌中 VM 存在情况; 并用 Kaplan-Meier 法分析 VM 与预后的关系。[结果] 观察组 CD151(82%)、ERK1/2(75%)蛋白阳性表达率及 VM 存在率(29%)均明显高于对照组(10%、36%、8%)( $P$  均  $<0.05$ )。CD151 蛋白表达与 ESCC 的浸润深度、淋巴结转移、临床分期、分化程度有关( $P$  均  $<0.05$ ); ERK1/2 蛋白表达与 ESCC 的淋巴结转移、临床分期、分化程度有关( $P$  均  $<0.05$ ); ERK1/2 在 CD151 阳性组的表达明显高于 CD151 阴性组, 且两者表达呈正相关( $r=0.451, P<0.001$ ); CD151 和 ERK1/2 表达均与 VM 存在呈正相关( $r=0.299, P=0.002; r=0.318, P=0.001$ )。Kaplan-Meier 生存分析显示有 VM 组与无 VM 组 5 年生存率分别为 10.3% 和 50.7%( $P<0.05$ )。Cox 多因素回归分析显示: 浸润深度、临床分期、VM 存在是食管鳞癌患者术后 5 年生存率的独立影响因素( $P$  均  $<0.05$ )。[结论] CD151、ERK1/2 在食管鳞癌的发生及发展中具有重要作用, 可能通过 VM 的形成, 影响食管鳞癌的发生发展、转移及预后。

**主题词:** 食管鳞状细胞癌; 组织分化抗原 151; 细胞外调节蛋白激酶 1/2; 血管生成拟态; 预后

**中图分类号:** R735.1   **文献标识码:** A   **文章编号:** 1671-170X(2019)04-0330-05

doi: 10.11735/j.issn.1671-170X.2019.04.B009

## Expression of CD151 and ERK1/2 in Esophageal Squamous Cell Carcinoma and Their Correlation with Vasculogenic Mimicry

LIU Yu<sup>1</sup>, WANG Zi-an<sup>2</sup>

(1. Bengbu Medical College, Bengbu 233030, China;

2. The First Affiliated Hospital of Bengbu Medical College, Bengbu 233034, China)

**Abstract:** [Objective] To investigate the expression of tissue differentiation antigen 151(CD151) and extracellular regulated protein kinase1/2 (ERK1/2) in esophageal squamous cell carcinoma (ESCC), and to analyze the their correlation with vasculogenic mimicry(VM). [Methods] One hundred samples of paraffin-embedded ESCC tissue and 50 samples of normal esophageal tissues were collected. The expression of CD151 and ERK1/2 in ESCC was detected by ElivisionTM plus method. The VM in esophageal cancer was detected by CD34/PAS double staining. The relationship between VM and prognosis was analyzed by Kaplan-Meier method. [Results] The positive rate of CD151 (82%), ERK1/2 (75%) and the present rate of VM (29%) in the ESCC group were significantly higher than those in the control group(10%, 36%, 8%; all  $P<0.05$ ). The expression of CD151 protein was correlated with the depth of invasion, lymph node metastasis, clinical stage and degree of differentiation of ESCC (all  $P<0.05$ ). The expression of ERK1/2 protein was correlated with lymph node metastasis, clinical stage and differentiation of ESCC(all  $P<0.05$ ). The expression of ERK1/2 was positively correlated with the expression of CD151 in ESCC ( $r=0.451, P<0.001$ ); the expression of CD151 and ERK1/2 was positively correlated with VM( $r=0.299, P=0.002; r=0.318, P=0.001$ ). Kaplan-Meier survival curve showed that the 5-years survival rate of VM group and non-VM group was 10.3% and 50.7%, respectively ( $P<0.05$ ). Cox multivariate regression analysis demonstrated that the depth of invasion, clinical stage and VM were the independent factors of the 5-years survival( $P<0.05$ ). [Conclusion] The expression of CD151 and ERK1/2 are upregulated in ESCC, which may affect the development, metastasis and prognosis of ESCC through VM formation.

**Subject words:** ESCC; CD151; ERK1/2; VM; prognosis

**通信作者:** 王子安, 主任医师, 副教授, 硕士生导师, 硕士; 蚌埠医学院第一附属医院肿瘤

内科, 安徽省蚌埠市龙子湖区长淮路 287 号(233004); E-mail: wangzian118@sina.com

收稿日期: 2018-06-22; 修回日期: 2018-07-27

食管癌(EC)是常见的消化道恶性肿瘤,以食管鳞癌(ESCC)为主<sup>[1]</sup>。CD151作为四跨膜蛋白(TM4SF)家族之一,通过与 $\alpha$ 6 $\beta$ 1、 $\alpha$ 3 $\beta$ 1等整合素家族(integrin family)及基质金属蛋白酶家族(MMPs)等结合,能促进肿瘤血管内皮细胞迁移和微血管增生,是与肿瘤侵袭转移相关最为密切的TM4SF<sup>[2]</sup>。ERK1/2是丝裂原活化蛋白激酶家族(MAPKs)成员之一,可被生长因子、细胞因子等外界因素激活<sup>[3]</sup>;ERK1/2通路参与细胞的分裂、分化及凋亡,与多种肿瘤的发生有关<sup>[4]</sup>。血管生成拟态(VM)是一种新近发现的肿瘤微循环血管,与肿瘤的微循环相连<sup>[5]</sup>。有研究表明<sup>[6]</sup>,VM为恶性肿瘤提供充足的血供及扩散途径,并且有多个信号通路能参与VM的形成,在肿瘤的生长、预后中起着重要作用。本研究就ESCC中CD115、ERK1/2及VM的表达进行分析。

## 1 资料与方法

### 1.1 一般资料

选取2012年1月至2012年6月期间蚌埠医学院第一附属医院病理科100例存档石蜡包埋ESCC组织标本作为观察组和50例癌旁( $\geq 5\text{cm}$ )正常食管组织作为对照组。所有患者均全符合以下标准:(1)具有完整的临床资料;(2)术前未实施化疗、放疗、激素类药物和靶向药物治疗;(3)均为第一次手术且术后均由2位长期从事病理诊断的高年资医师确诊为ESCC,随访至患者死亡或截止2017年6月30日。采用门诊、电话、信函和到家随访等相结合的方式,随访25~60个月,中位随访33个月。ESCC术后1年内每3个月随访1次,术后1~3年每6个月随访1次,术后3年后每1年随访1次。总计失访共6例,失访比例为6%。观察组中男性76例,女性24例;年龄44~78岁,平均年龄62.5岁;病理学分级分类:G<sub>1</sub>为高分化,共23例,G<sub>2</sub>为中分化,共59例,G<sub>3</sub>为低分化,共18例;侵及黏膜层及浅肌层38例,侵及深肌层及外膜62例;有淋巴结转移48例,无淋巴结转移52例;TNM临床分期:I~II期54例,III~IV期46例。

### 1.2 实验试剂

鼠抗人CD151单克隆抗体(克隆号:66567-1-Ig)及兔抗人ERK1/2单克隆抗体(克隆号:Abp51298)均购自Abbkine公司,鼠抗人CD34单克

隆抗体(产品编号:MAB-0034,克隆号:QBEnd/10)、Elivision™ plus试剂盒以及DAB显色试剂盒均购自福州迈新生物技术开发公司。PAS染色液由蚌埠医学院第一附属医院病理科配制。

### 1.3 实验方法

#### 1.3.1 免疫组织化学 Elivision™ plus 法

石蜡标本以4 $\mu\text{m}$ 厚连续切片并烤干,在二甲苯溶液及不同浓度的乙醇中脱蜡至水洗。按试剂盒说明书上步骤进行免疫组化染色。以已知阳性片作阳性对照,PBS代替一抗作阴性对照。

#### 1.3.2 CD34 和 PAS 套染

标本经CD34染色,DAB显色后,以流水冲洗1min终止显色反应,再在0.5%高碘酸溶液中氧化10min。流水冲洗2min后置于Schiff液中染色15~30min,然后蒸馏水冲洗3次,1min/次,蒸馏水冲洗3~5min;此后依次苏木素浅染细胞核、盐酸酒精分化、返蓝、脱水透明以及中性树胶封片。

### 1.4 结果判定

#### 1.4.1 免疫组化结果判定

CD151以细胞膜出现棕黄色颗粒为阳性;ERK1/2以细胞核或细胞质有棕黄色细颗粒为阳性。采取二次计分法:每例标本随机计数5个高倍视野,计数每个高倍视野中阳性细胞所占百分比及强度,结果取平均值:评价标准:(1)染色强度计分:0分为无色,1分为淡黄色,2分为棕黄色,3分为棕褐色。(2)阳性细胞百分比计分:0分为<10%,1分为10%~50%,2分为50%~75%,3分为>75%;两者乘积作为判断结果,<3分为阴性, $\geq 3$ 分为阳性。

#### 1.4.2 CD34 和 PAS 套染结果判定

CD34/PAS套染后显微镜观察到由肿瘤细胞构成的管腔样结构,且管壁见不到内皮细胞、腔内可见红细胞或无红细胞但管壁全部或部分PAS(+),免疫组化CD34(-)的均可判定为VM;不论管腔内有无红细胞,管壁出现CD34(+)的血管,均判定为内皮依赖性血管。

以上结果均由2位病理医生对免疫组化及CD34/PAS套染结果进行判定。

### 1.5 统计学处理

采用SPSS16.0统计软件进行统计学分析。在ESCC组织中,CD151、ERK1/2、VM在观察组及对照组中的表达、与临床病理学特征及三者之间的相关性采用 $\chi^2$ 和Spearman相关性分析,生存分析采用Kaplan-Meier法。 $P<0.05$ 为差异有统计学意义。

## 2 结 果

### 2.1 两组 CD151、ERK1/2 及 VM 表达比较

100 例 ESCC 中 CD151 阳性 82 例(82%),CD151 阴性 18 例(18%);ERK1/2 阳性 75 例(75%),ERK1/2 阴性 25 例(25%)。观察组 CD151、ERK1/2 蛋白阳性表达率及 VM 存在率(29%)明显高于对照组(见 Table 1)。CD151、ERK1/2 及 VM 在 ESCC 及癌旁组织中的表达见 Figure 1。

### 2.2 CD151 及 ERK1/2 表达与 ESCC 临床病理特征的关系

CD151 阳性表达在不同年龄组和性别组差异无统计学意义( $P$  均 $>0.05$ ),但在不同浸润深度、淋巴结转移、临床分期、分化程度组差异均有统计学意义( $P$  均 $<0.05$ );ERK1/2 阳性表达在不同年龄、性别及浸润深度组差异无统计学意义( $P$  均 $>0.05$ ),但在不同淋巴结转移、临床分期、分化程度组差异均有统计学意义( $P$  均 $<0.05$ )。见 Table 2。

### 2.3 ESCC 中 CD151 与 ERK1/2 表达的关系

CD151 阳性病例中,ERK1/2 阳性率为 84.1%;CD151 阴性病例中,ERK1/2 阳性率为 33.3%。Spearman 相关分析显示,CD151 与 ERK1/2 在 ESCC 中的表达呈正相关( $r=0.451, P<0.001$ )。见 Table 3。

### 2.4 ESCC 中 CD151、ERK1/2 表达与 VM 的关系

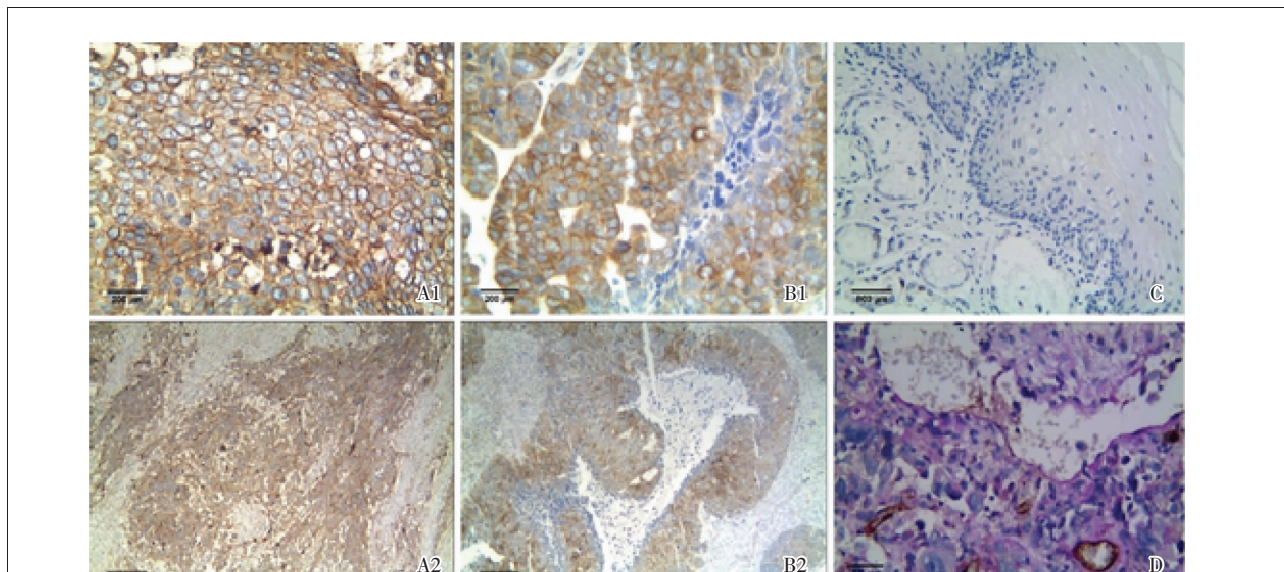
有 VM 组和无 VM 组的 CD151 阳性表达率分别为 100% 和 74.6%,Spearman 相关分析显示两者呈正相关( $r=0.299, P=0.002$ )。有 VM 组和无 VM 组的 ERK1/2 阳性表达率分别为 96.6% 和 66.2%,Spearman 相关分析显示两者呈正相关 ( $r=0.318, P=0.001$ )。见 Table 4。

### 2.5 生存分析

全组病例总的 5 年生存率为 39.0%。Kaplan-Meier 生存分析显示有 VM 组 5 年生存率为 10.3%,无 VM 组 5 年生存率为 50.7%,差异有统计学意义( $P<0.001$ )(Figure 2)。将 Table 2 中有统计学意义的因素进行 Cox 多因素回归分析,结果显示:浸润深

Table 1 The expression of CD151,ERK1/2 and VM in observation group and control group

Groups	n	CD151				ERK1/2				VM			
		Positive	Negative	$\chi^2$	P	Positive	Negative	$\chi^2$	P	Positive	Negative	$\chi^2$	P
Observation group	100	82	18	70.936	<0.001	75	25	21.520	<0.001	29	71	8.566	0.003
Control group	50	5	45			18	32			4	46		



A1: Positive expression of CD151 in ESCC (SP $\times$ 400), A2: positive expression of CD151 in ESCC (SP $\times$ 100), B1: Positive expression of ERK1/2 in ESCC (SP $\times$ 400), B2: Positive expression of ERK1/2 in ESCC (SP $\times$ 100), C: Negative expression of CD151 and ERK1/2 in adjacent tissues (SP $\times$ 400), D: Positive expression of VM in ESCC (SP $\times$ 100)

Figure 1 The expression of CD151,ERK1/2 and VM in ESCC and adjacent tissues

**Table 2 Relationship of the expression of CD151 and ERK1/2 with clinicopathological features in ESCC**

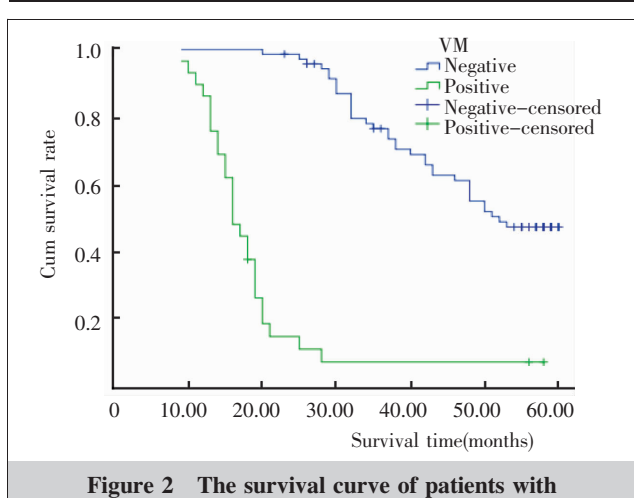
Index	n	CD151			ERK1/2		
		Positive	$\chi^2$	P	Positive	$\chi^2$	P
Gender							
Male	76	61(80.3)	0.647	0.421	57(75.0)	0.000	1.000
Female	24	21(87.5)			18(75.0)		
Age ( years)							
>60	65	55(84.6)	0.861	0.354	46(70.8)	1.773	0.183
≤60	35	27(77.1)			29(82.9)		
Infiltration depth							
Mucosal to superficial muscle	38	23(60.5)	19.143	<0.001	26(68.4)	1.415	0.234
Deep muscle toSerosal layer	62	59(95.2)			49(79.0)		
Lymph node metastasis							
Yes	48	46(95.8)	11.968	0.001	43(89.6)	10.470	0.001
No	52	36(69.2)			32(61.5)		
TNM							
I + II	54	40(74.1)	4.996	0.025	33(61.1)	12.077	0.001
III + IV	46	42(91.3)			42(91.3)		
Pathological grading							
G <sub>1</sub>	23	13(56.5)	14.855	0.001	11(47.8)	12.181	0.002
G <sub>2</sub>	59	51(86.4)			48(81.4)		
G <sub>3</sub>	18	18(100)			16(88.9)		

**Table 3 Correlation of CD151 and ERK1/2 protein expression in ESCC**

CD151	ERK1/2		r	P
	Positive	Negative		
Positive	69	13	0.451	<0.001
Negative	6	12		

**Table 4 Correlation of CD151 and ERK1/2 protein expression with VM in ESCC**

VM	CD151				ERK1/2			
	Positive	Negative	r	P	Positive	Negative	r	P
Positive	29	0	0.299	0.002	28	1	0.318	0.001
Negative	53	18			47	24		



度、临床分期、VM 存在可能是 ESCC 患者术后 5 年生存率的独立影响因素。见 Table 5。

### 3 讨 论

CD151 与整合素家族形成复合体后，通过囊泡运输靶基序 (YXXφ) 运输重要信号分子，并激活 FAK、ERK、PI3K/Akt、Rac/cdc42 信号通路，促进血管生成<sup>[7]</sup>。ERK1/2 作为 MAPK/ERK 通路中 2 个重要成员，细胞未被激活时位于细胞质，一旦被激活则以磷酸化状态

迅速转移至细胞核，并通过磷酸化反应激活转录因子、酶以及细胞骨架相关蛋白等多种底物来调节相关基因表达，进而加速细胞增殖、分化，抑制细胞凋亡及促进血管生成<sup>[8]</sup>。CD151 对细胞以及类微血管样结构形成的促进作用能被 ERK 抑制剂部分抑制；在蛋白表达水平上，CD151 蛋白表达增高，ERK 蛋白磷酸化明显上调，而抑制 CD151 蛋白表达则使磷酸化 ERK 蛋白表达明显降低，再次说明了 CD151 可以凭借激活 ERK 的方式，实现其促进血管生成的作用<sup>[9]</sup>。本研究结果显示：在 ESCC 的临床病理学特征中，CD151 及 ERK1/2 与患者性别、年龄无关，但与患者分化程度、淋巴结转移、临床分期具有明显相关性，除此之外，CD151 蛋白还与患者浸润深度相关 ( $P < 0.05$ )。Spearman 等级相关分析提示，在 ESCC 中，CD151 蛋白与 ERK1/2 蛋白表达呈正相关 ( $r = 0.451, P < 0.001$ )，这也提示 CD151 能促进 ERK1/2 蛋白表达，并参与 ESCC 的发生、发展。

目前对 VM 的研究主要集中在其形成机制和信号通路，及与肿瘤细胞的转移、侵袭相关的胞外基质重塑因子，如：血管内皮钙黏蛋白 (VE-cad-

**Table 5 Multivariate analysis of factors affecting postoperative 5-years survival of patients with ESCC**

Index	B	SE	Wald	P	HR	95%CI
Infiltration depth	1.976	0.284	43.511	0.015	6.575	1.161~3.371
Lymph node metastasis	0.274	0.495	3.226	0.103	1.638	0.317~6.658
TNM	0.925	0.373	6.104	0.016	2.357	1.031~2.672
Pathological grading	0.314	0.505	2.592	0.138	1.654	0.451~7.137
CD151	0.578	0.895	0.415	0.519	1.783	0.307~10.314
ERK1/2	0.591	1.146	0.267	0.605	1.806	0.191~17.126
VM	2.128	0.808	6.962	0.008	0.119	0.024~0.579

herin)、上皮细胞激酶(EphA2)、磷脂酰肌醇激酶(PI3K)、层黏连蛋白5γ2(Ln-5γ2)、低氧诱导因子1α(HIF-1α)、局部黏着斑激酶(FAK)和MMPs等<sup>[10]</sup>;而在VM的形成过程中,PI3K/Akt信号通路占主要作用,该通路主要通过调节MT1-MMP1,MMP2和Ln-5γ2链的裂解参与VM的形成<sup>[11]</sup>。除此之外,VE-cadherin可以通过介导EphA2与膜表面的配体相互作用使EphA2磷酸化,磷酸化的EphA2通过FAK和ERK1/2激活PIK3,最终MMP2激活Ln-5γ2裂解从而导致VM形成<sup>[12]</sup>。已有文献报道<sup>[13]</sup>,CD151能激活ERK、FAK,并通过MAPKs/ERK和PI3K/Akt通路促进新生血管形成;破坏FAK信号的相关非激酶表达能使ERK1/2磷酸化下调,以致尿激酶和基质金属蛋白酶-2(MMP-2)/膜型基质金属蛋白酶-2(MT2-MMP)下调,从而可抑制VM形成<sup>[14]</sup>。本研究结果显示:ESCC组织中,有VM组中CD151、ERK1/2的表达均明显强于无VM组,而且VM与二者均呈正相关( $r=0.299, 0.318$ ;  $P$ 均<0.05)。因此,CD151蛋白可能通过促进ERK1/2蛋白表达,并经PI3K/Akt/MT1-MMP1/MMP2/Ln-5γ2、MAPKs/PI3K/ERK等多条通路参与食管鳞癌的VM形成,从而促进食管鳞癌的转移和浸润。

VM的密度对肿瘤患者的不良预后及5年生存率的影响尤为显著<sup>[15]</sup>。本研究中Cox回归分析显示ESCC患者术后5年生存率与临床分期、浸润深度、VM有关;VM组与无VM组的5年生存率分别为10.3%和50.7%,差异有统计学意义( $P<0.001$ )进一步证实了VM能影响ESCC患者的预后。

## 参考文献:

- [1] Chen W, Zheng R, Baade PD, et al. Cancer statistics in China, 2015[J]. CA Cancer J Clin, 2016, 66(2):115~132.
- [2] Rao MR, Gopinath S, Alapati K, et al. Knockdown of cathepsin B and uPAR inhibits CD151 and α3β1 integrin-mediated cell adhesion and invasion in glioma[J]. Mol Carcinog, 2013,
- [3] Wang Y, Han R, Zuo Z. Dexmedetomidine post-treatment induces neuroprotection via activation of extracellular signal-regulated kinase in rats with subarachnoid haemorrhage[J]. Br J Anaesth, 2016, 116(3):384~392.
- [4] Kovalska M, Kovalska L, Pavlikova M, et al. Intracellular signaling MAPK pathway after cerebral ischemia-reperfusion injury[J]. Neurochem Res, 2012, 37(7):1568~1577.
- [5] Zhao WJ, Yang YP. The formation of tumor vascular diversity and Its significance[J]. Journal of Chinese Oncology, 2015, 21(6):507~511.[赵文静,杨俐萍.肿瘤血管多样性的形成及其研究意义[J].肿瘤学杂志,2015,21(6):507~511.]
- [6] Liu X, Wang JH, Li S, et al. Histone deacetylase 3 expression correlates with vasculogenic mimicry through the phosphoinositide3-kinase/ERK-MMP-laminin5γ2 signaling pathway[J]. Cancer Sci, 2015, 106(7):857~866.
- [7] Wei Q, Liu ZX, Huang XL. Progress in the research of pro-angiogenesis of four transmembrane superfamily protein CD151[J]. Chinese Journal of Histochemistry and Cytochemistry, 2011, 20(1):92~97.[魏全,刘正湘,黄晓琳.四跨膜超家族蛋白CD151促血管生成的研究进展[J].中国组织化学与细胞化学杂志,2011,20(1):92~97.]
- [8] Baranski Z, Booij TH, Kuijjer ML, et al. MEK inhibition induces apoptosis in osteosarcoma cells with constitutive ERK1/2 phosphorylation [J]. Genes Cancer, 2015, 6 (11~12):503~512.
- [9] Zuo HJ, Lin JY, Liu ZY, et al. Activation of the ERK signaling pathway is involved in CD151-induced angiogenic effects on the formation of CD151-integrin complexes[J]. Chinese Pharmacology, 2010, 31(7):805~812.
- [10] Bai J, Xu ZJ, Liao CL, et al. Progress in research on the vascularization mimicry in cancer [J]. Journal of Central South University (Medical Science), 2017, 42(3):357~364. [白驹,徐志杰,廖朝亮,等.血管形成拟态在肿瘤中的研究进展[J].中南大学学报(医学版),2017,42(3):357~364.]
- [11] Zhang X, Song Q, Wei C, et al. LRIG1 inhibits hypoxia-induced vasculogenic mimicry formation via suppression of the EGFR/PI3K/AKT pathway and epithelial-to-mesenchymal transition in human glioma SHG-44 cells[J]. Cell Stress Chaperones, 2015, 20(4):631~641.
- [12] Lu XS, Sun W, Ge CY, et al. Contribution of the PI3K/MMPs/Ln-5γ2 and EphA2/FAK/Paxillin signaling pathways to tumor growth and vasculogenic mimicry of gallbladder carcinomas[J]. Int J Oncol, 2013, 42(6):2103~2115.
- [13] Zuo H, Liu Z, Liu X, et al. CD151 gene delivery after myocardial infarction promotes functional neovascularization and activates FAK signaling[J]. Mol Med, 2009, 15(9~10):307~315.
- [14] Zhang J, Gao Q, Zhou Y, et al. Focal adhesion kinase-promoted tumor glucose metabolism is associated with a shift of mitochondrial respiration to glycolysis [J]. Oncogene, 2016, 35(15):1926~1942.
- [15] Guo Q, Yuan Y, Jin Z, et al. Association between tumor vasculogenic mimicry and the poor prognosis of gastric cancer in China: an updated systematic review and meta-analysis[J]. Biomed Res Int, 2016, 2016(4):1~8.